

FIG. 1A

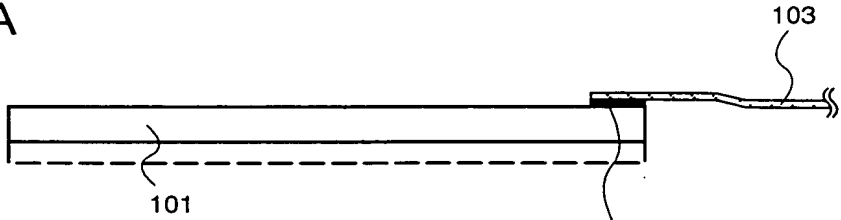


FIG. 1B

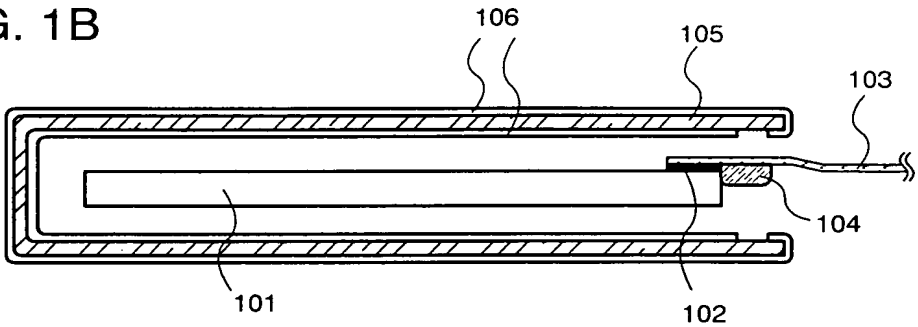


FIG. 1C

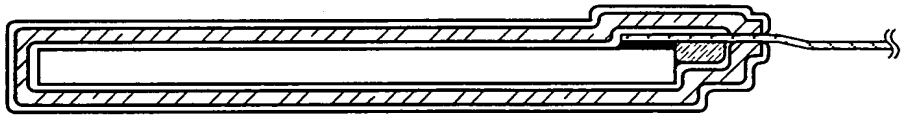
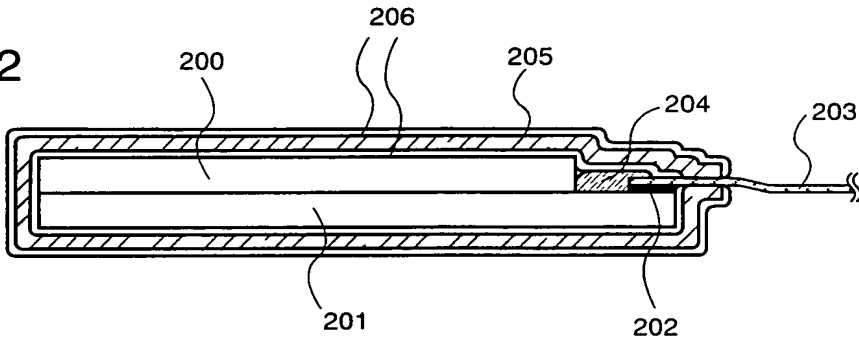


FIG. 2



1007370.04502 205T20"04E2200T

FIG. 3

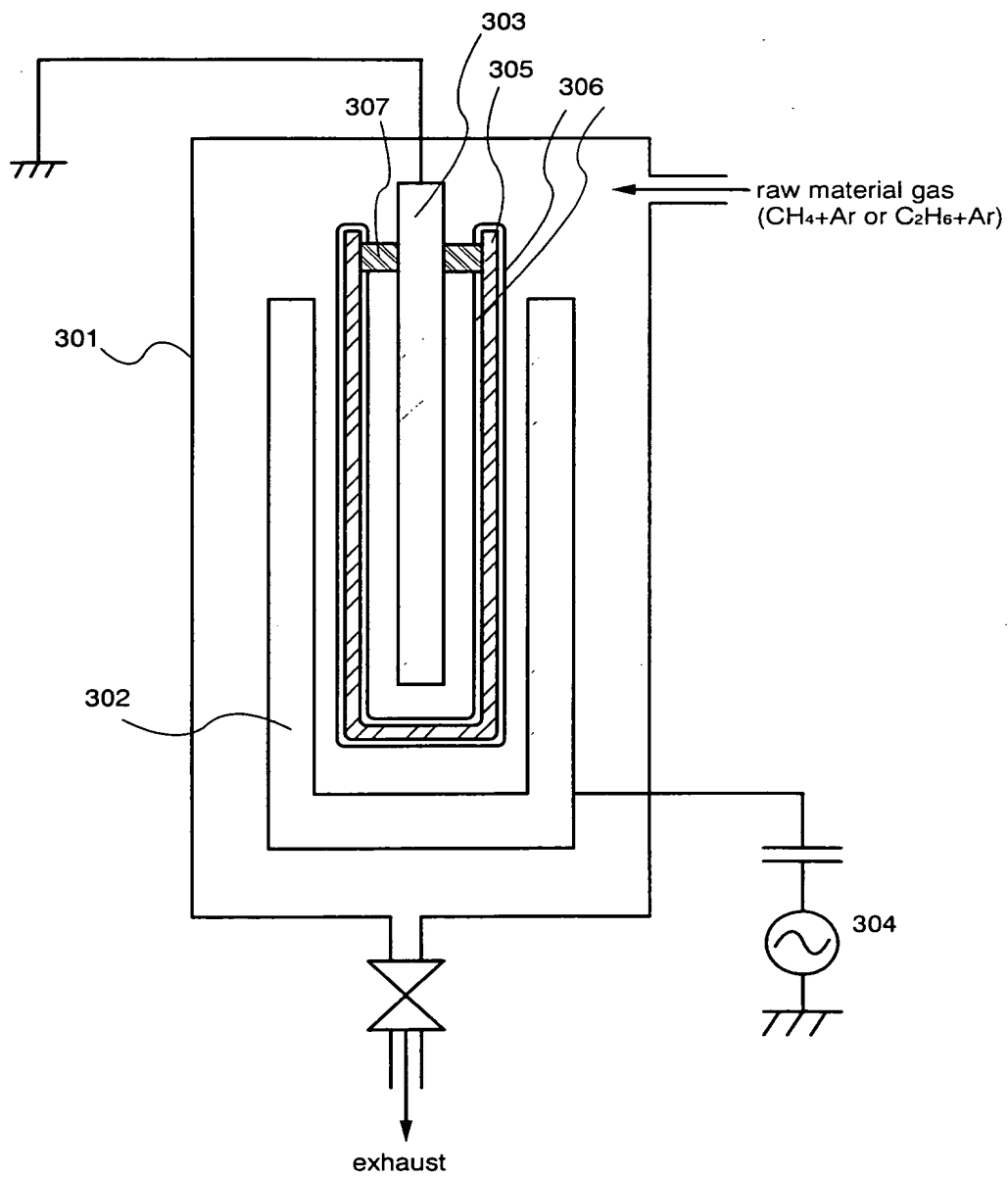


FIG. 4A

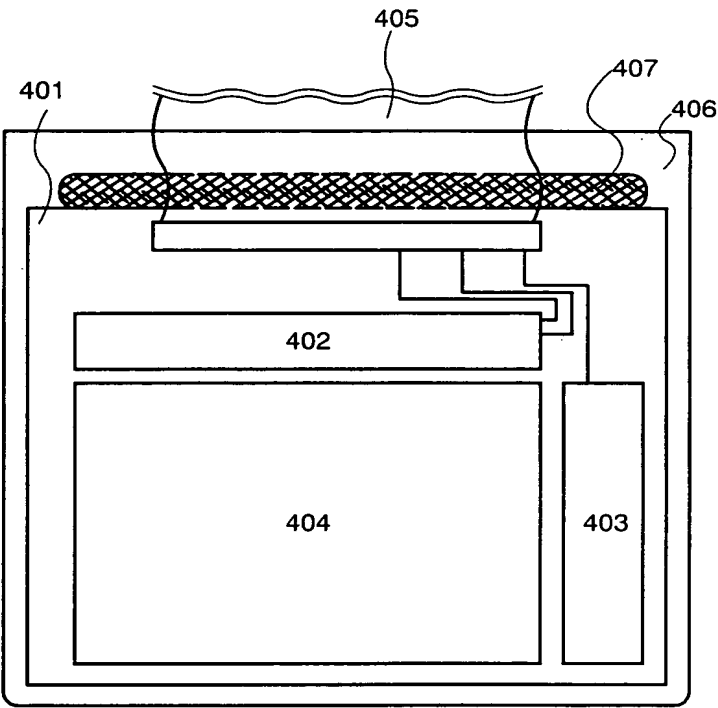


FIG. 4B

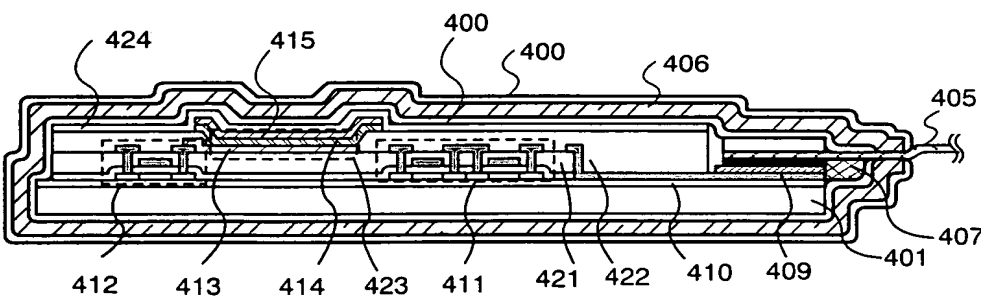


FIG. 5A

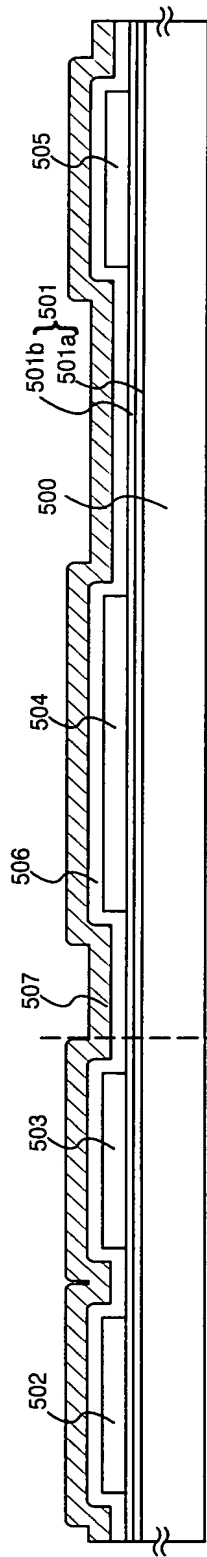


FIG. 5B

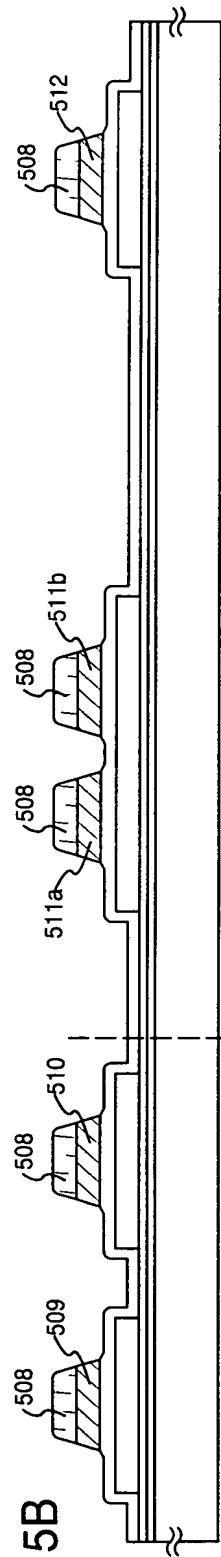


FIG. 5C

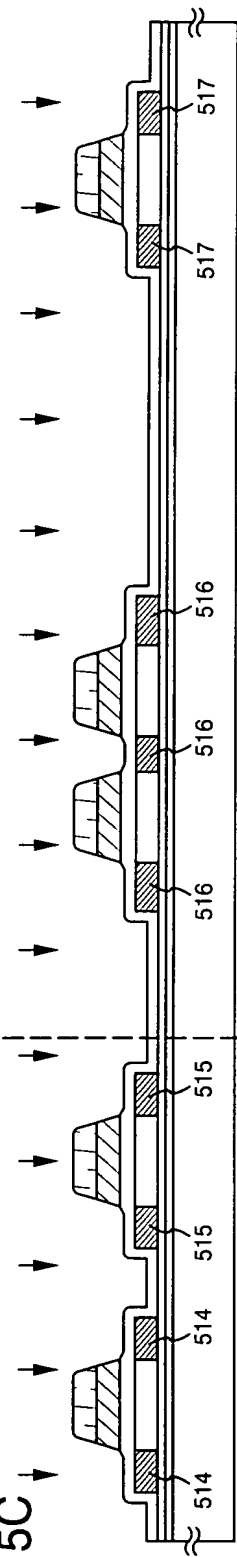


FIG. 5D

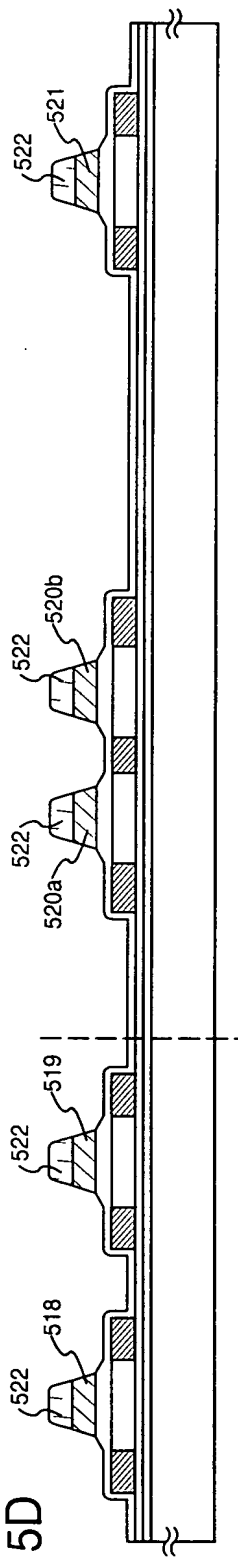


FIG. 6A

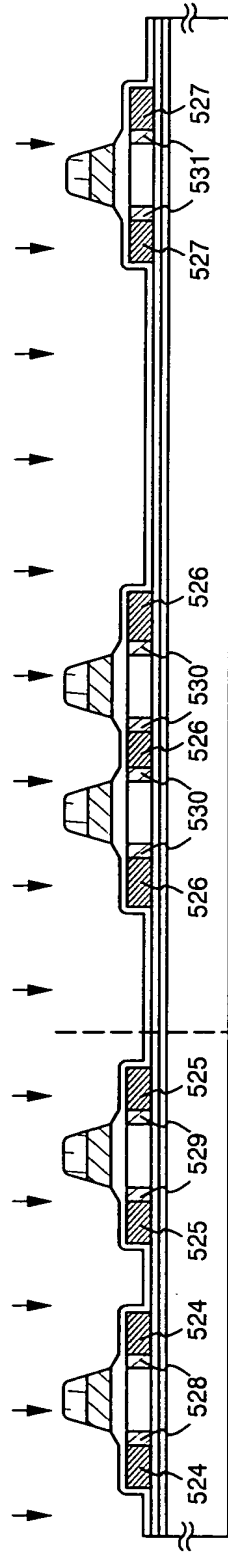


FIG. 6B

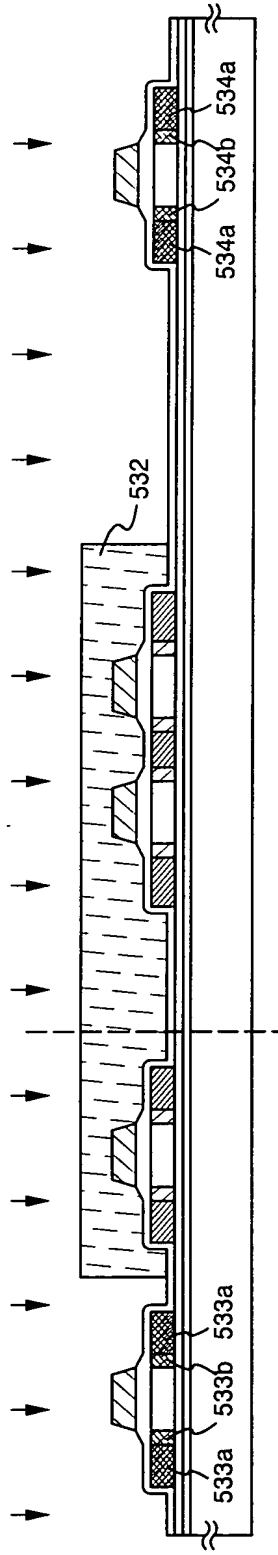


FIG. 6C

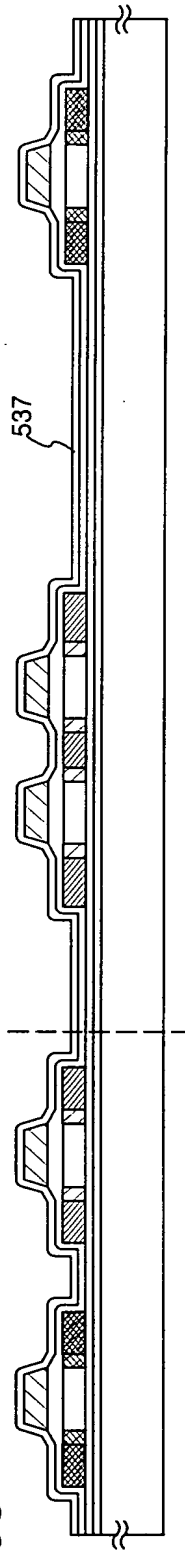


FIG. 7A

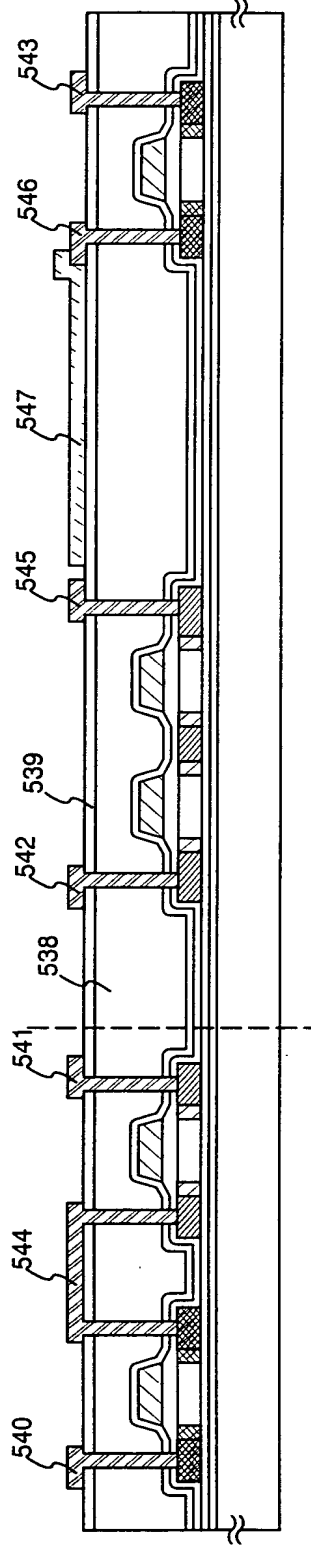


FIG. 7B

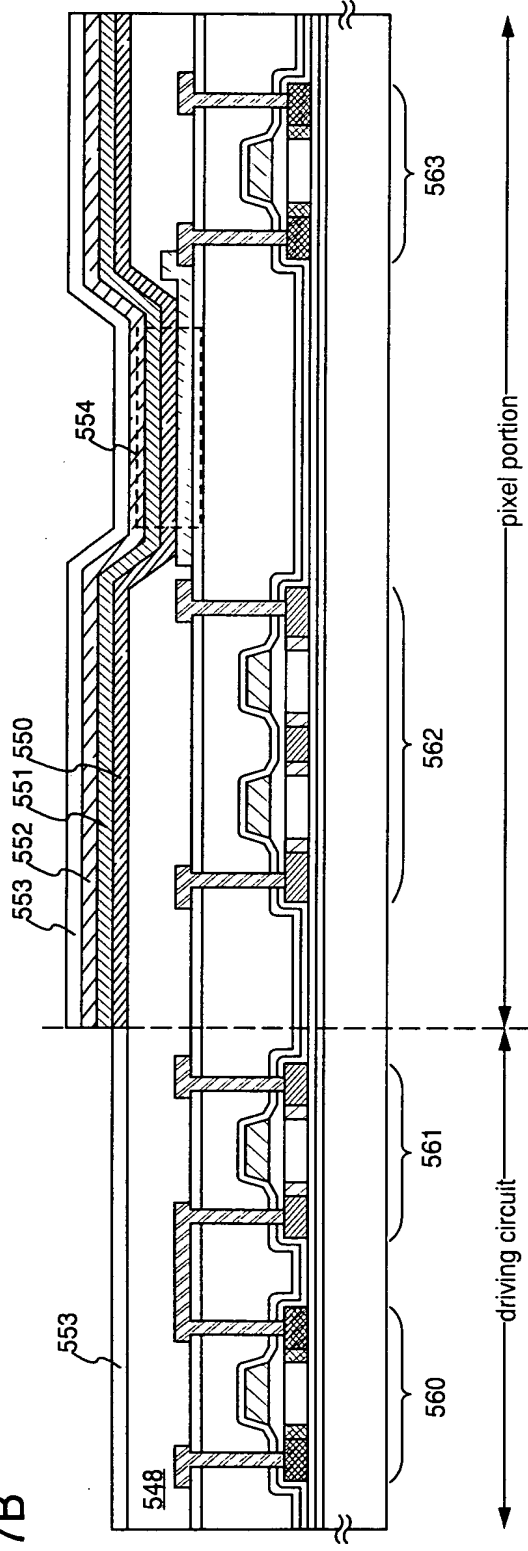


FIG. 8A

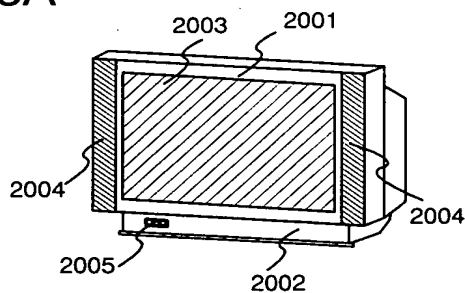


FIG. 8B

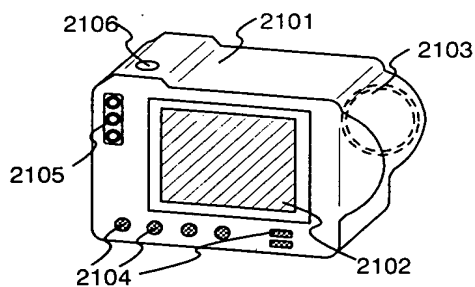


FIG. 8C

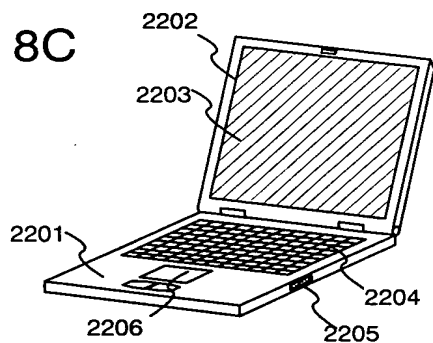


FIG. 8D

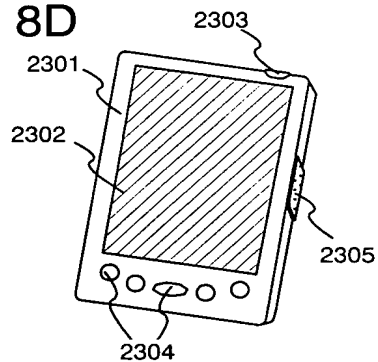


FIG. 8E

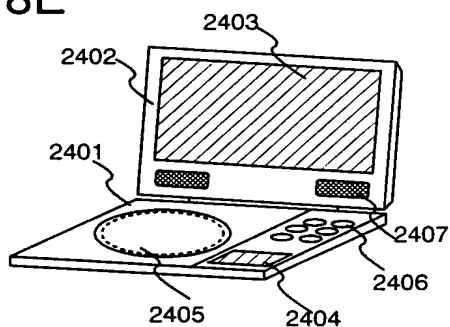


FIG. 8F

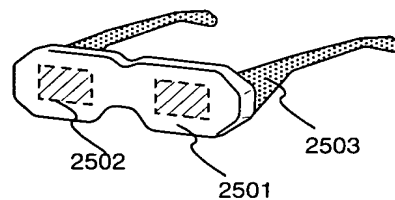


FIG. 8G

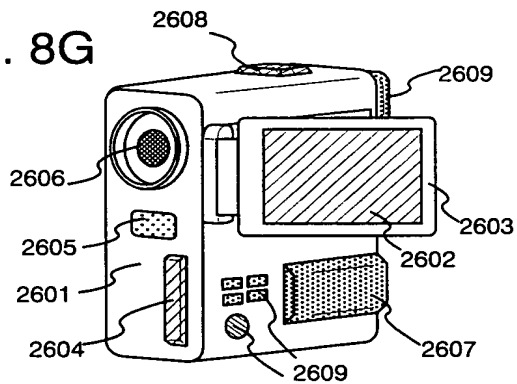


FIG. 8H

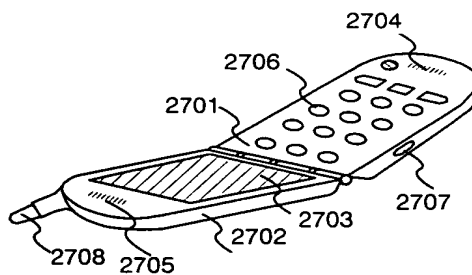


FIG. 9

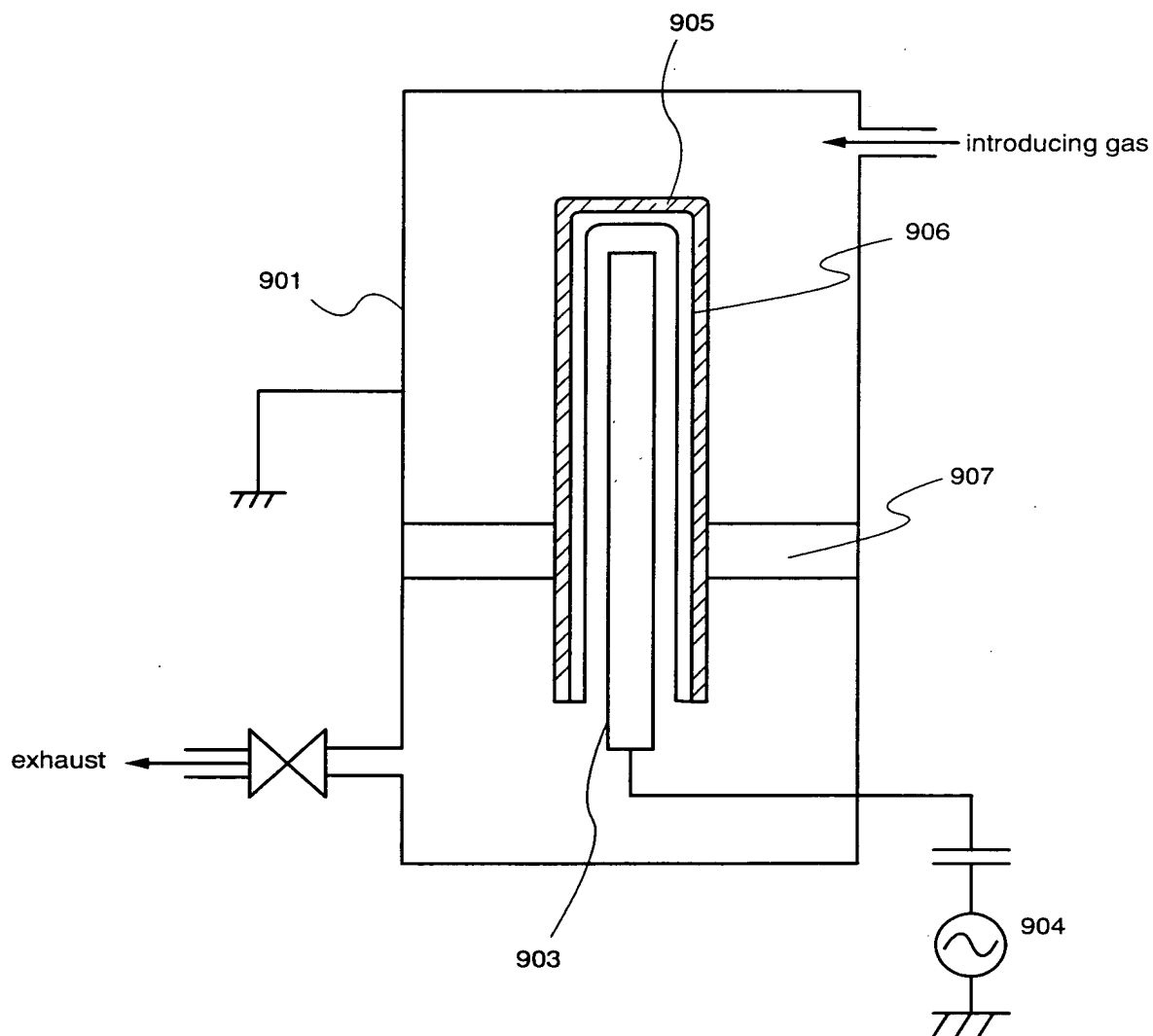




FIG. 10 transmissivity of AlN<sub>x</sub>O<sub>y</sub>

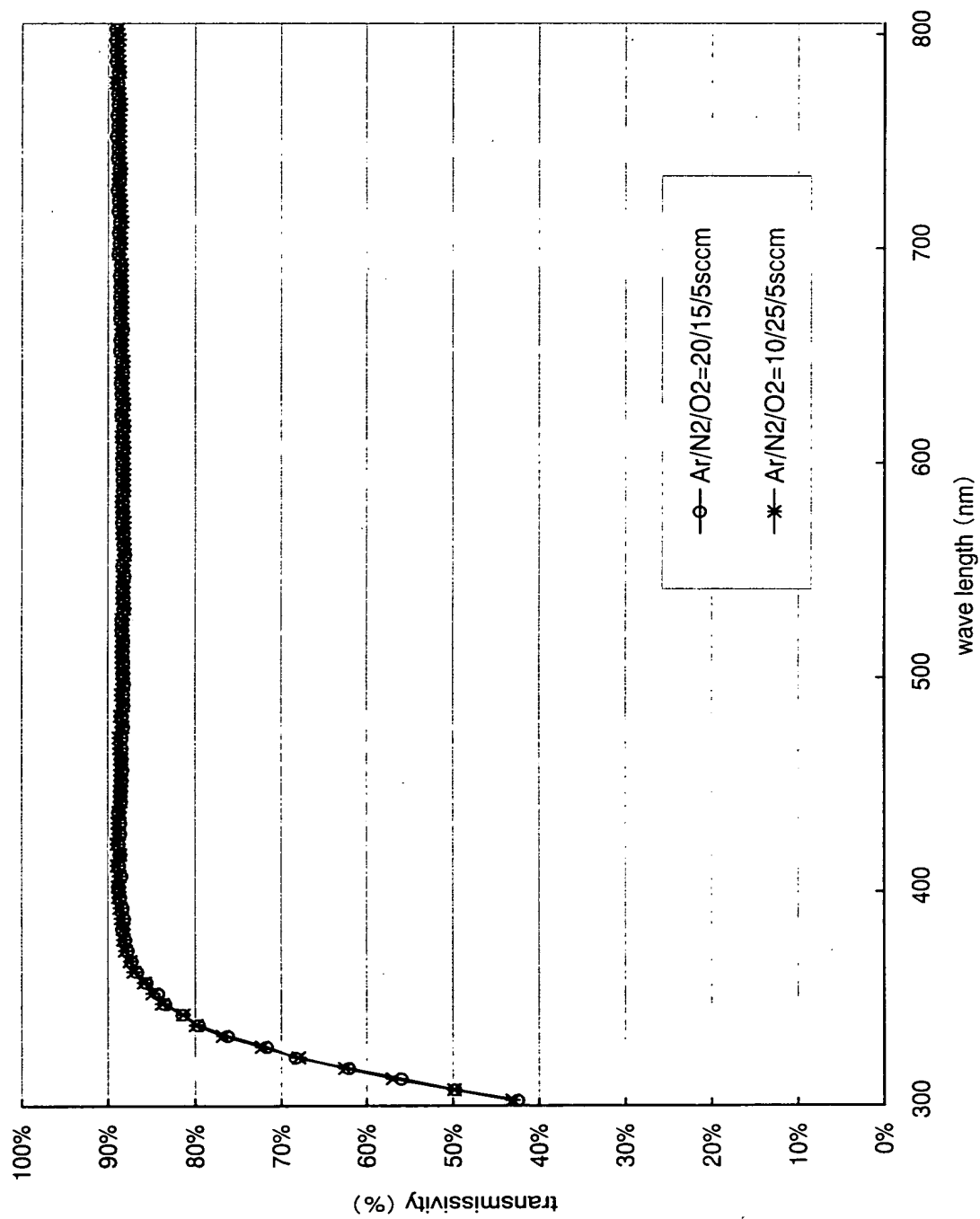


FIG. 11 transmissivity of AlxNy

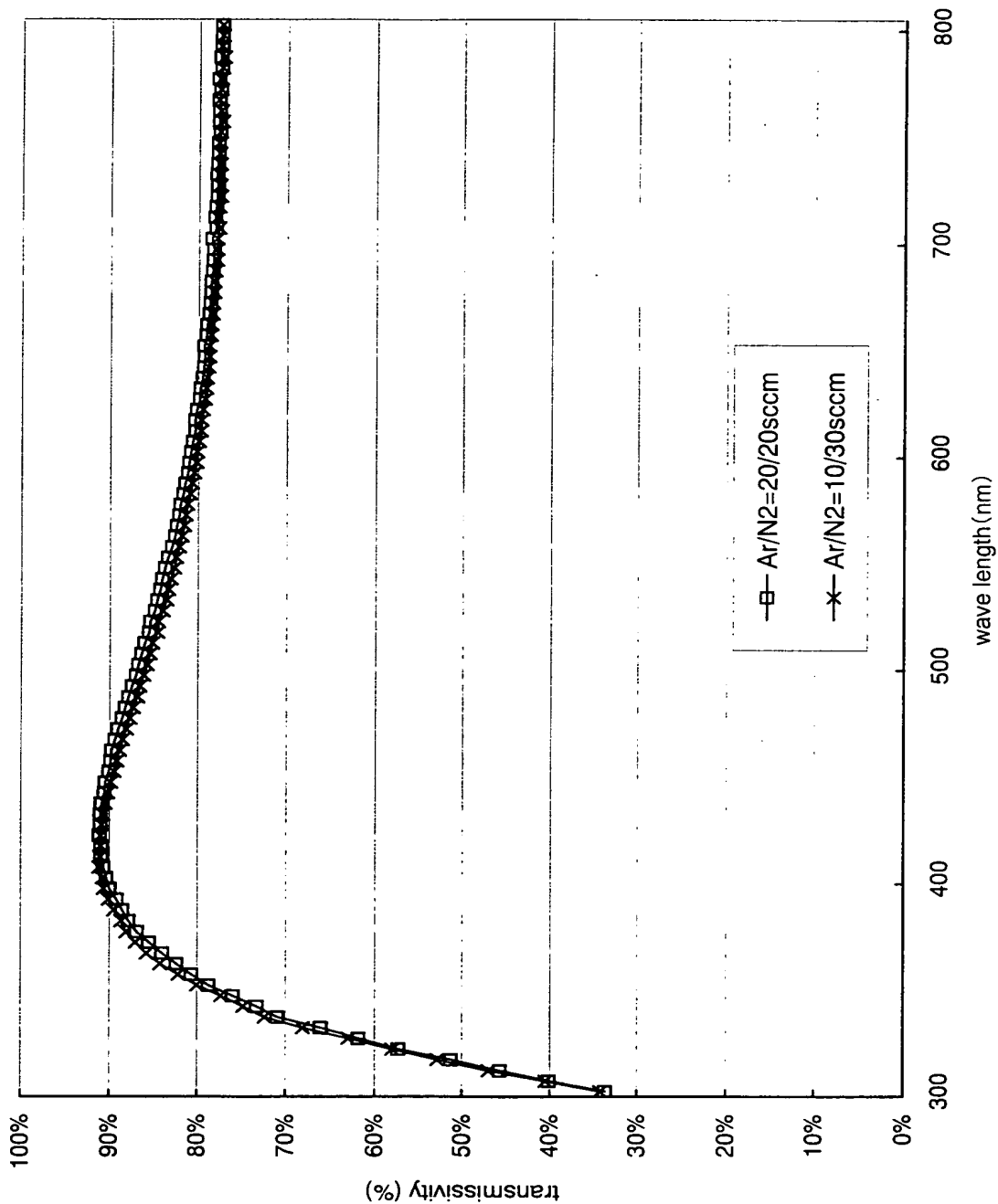


FIG. 12

